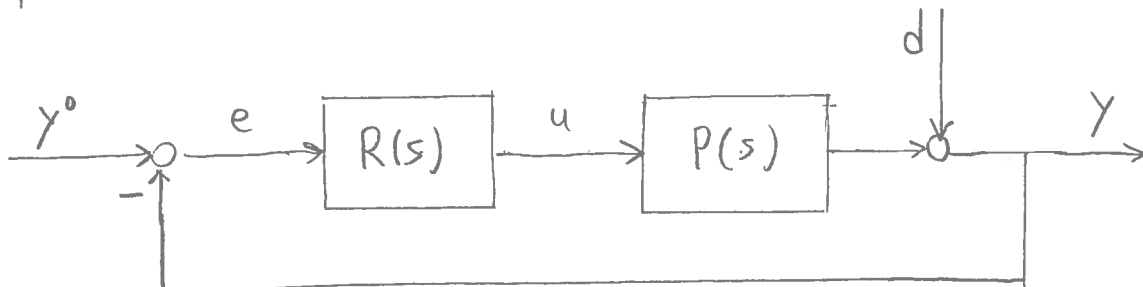


Progetto "in frequenza" di sistemi di controllo (cenni)

(1)

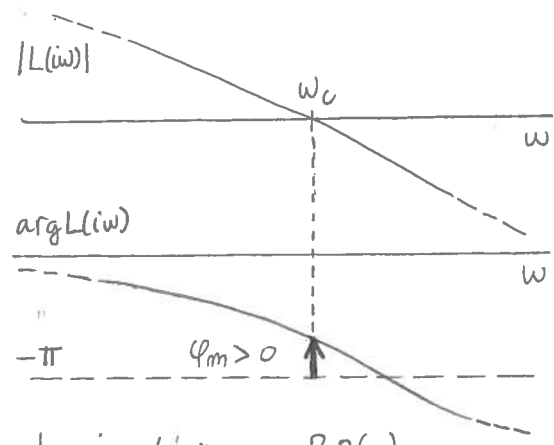
Criterio di stabilità di Bode

con riferimento allo schema di controllo



con retroazione negativa e anello $L(s) = R(s)P(s)$ caratterizzato da poli p con $\operatorname{Re}(p) \leq 0$ e dal tipico andamento in figura del modulo della risposta in frequenza ($|L(i\omega)| \geq 1$ a basse/alte frequenze)

- si definisce pulsazione critica la pulsazione ω_c a cui $|L(i\omega_c)| = 1$ (e si supponga unica)
- si definisce margine di fase l'angolo $\varphi_m = \arg L(i\omega_c) + \pi$ da sottrarre a $\arg L(i\omega_c)$ per ottenerne $-\pi$.



Nota: tipicamente $\arg L(i\omega_c) < 0$, non essendoci poli p con $\operatorname{Re}(p) > 0$

criterio di stabilità: detto di Bode perché comodamente valutabile sul diagramma di Bode, ma dorato a Nyquist, che elabora un criterio grafico più generale (senza vincoli su $L(s)$) basato sul diagr. polare di $L(iw)$.

$$\text{sistema di controllo esternamente stab.} \iff \begin{cases} M = L(0) > 0 \text{ (anche } \infty\text{)}, \\ \varphi_m > 0 \end{cases}$$

Nota: quando $\varphi_m = 0$, la f.d.t ad anello chiuso $G_{oy}(s) = L(s)/(1+L(s))$ ha due poli immaginari puri in $s = \pm i\omega_c$. Pertanto, se al variare di un parametro, per es il guadagno del regolatore, φ_m passa da > 0 a < 0 , la parte reale di due poli complessi coniugati di $G_{oy}(s)$ passa da < 0 a > 0 .

Giustificazione intuitiva

Sia w_{π} la pulsazione a cui $\arg L(iw_{\pi}) = -\pi$ e, se definita, le si supponga unica con $R_{\pi} = |L(iw_{\pi})|$.

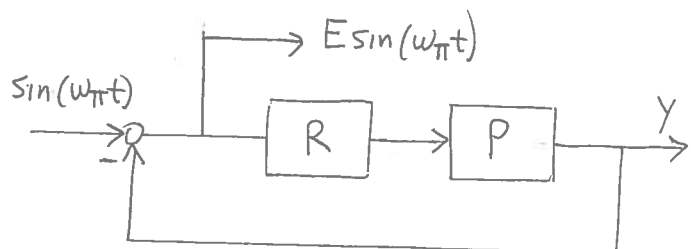
Nota: la scelta di $-\pi$, e non $+\pi$, è convenzionale, ma per come viene calcolato $\arg L(iw)|$ è più tipico che possa raggiungere $-\pi$.

Quando $w = w_{\pi}$ al nodo somme si sommano sinusoidi in fase (tenendo conto del segno "-" della retroazione) e quindi si sommano le corrispondenti ampiezze. Supponendo il sistema di controllo est. stab., potremmo scrivere

$$1 + ER_{\pi} = E$$

$$E = \frac{1}{1 - R_{\pi}}$$

ma come verifichiamo la stab?



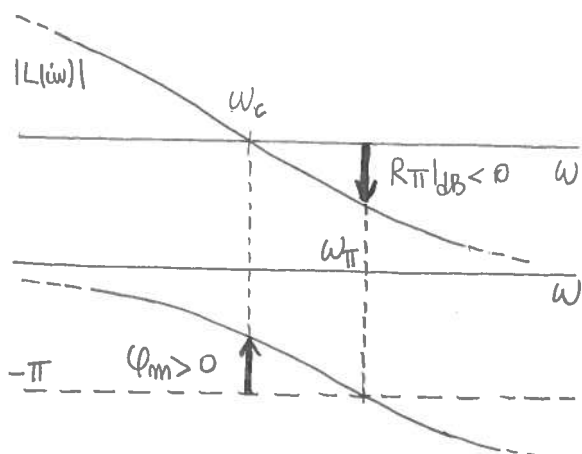
$$ER_{\pi} \sin(w_{\pi}t - \pi) = -ER_{\pi} \sin(w_{\pi}t)$$

Immaginando l'errore e scomposto in n contributi corrispondenti a $0, 1, 2, \dots$ "giri" della sinusoida in ingresso lungo l'anello, possiamo scrivere $E = 1 + R_{\pi} + R_{\pi}^2 + \dots$ e quindi concludere che

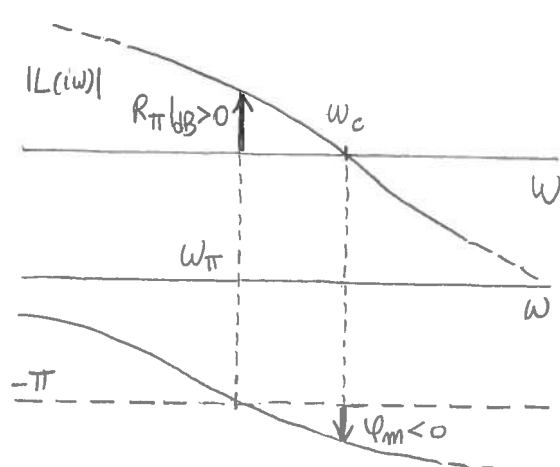
$R_{\pi} < 1 \Rightarrow$ serie E converge \Rightarrow sistema di controllo est. stab.

$R_{\pi} > 1 \Rightarrow$ serie E diverge \Rightarrow sistema di controllo instabile

Tenendo conto dell'andamento tipico di $|L(iw)|$ e $\arg L(iw)$ nell'intorno di w_c (vedi figura) otteniamo il criterio di stabilità di Bode



$$R_{\pi} < 1 \Leftrightarrow \mu > 0, \varphi_m > 0$$



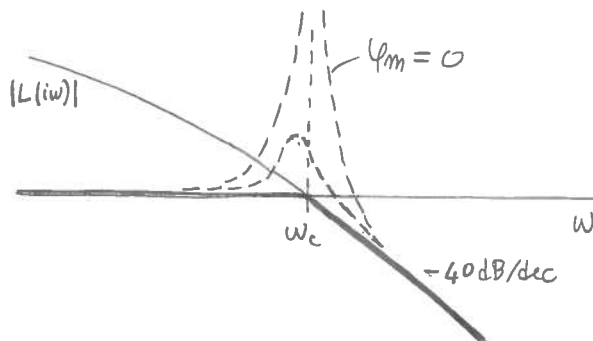
$$R_{\pi} > 1 \Leftrightarrow \begin{cases} \mu > 0, \varphi_m < 0 \text{ oppure} \\ \mu = -R_{\pi} < -1 \text{ e } w_{\pi} = 0 \end{cases}$$

Indici di robustezza

- Si definisce margine di guadagno la quantità $K_m = 1/R_{\pi}$ di cui si deve moltiplicare $L(s)$ per portare il sistema di controllo al limite di stabilità ($K_m|_{dB} = -R_{\pi}|_{dB}$).
- φ_m e K_m sono indici di robustezza delle stabilità del sistema di controllo. Valori grandi (p.e. $50^\circ - 70^\circ$ e 2-10) garantiscono la stab. anche a fronte di imprecisioni e incertezze modellistiche rilevanti.

F.d.t. del sistema di controllo

$$G_{oy}(s) = \frac{L(s)}{1 + L(s)}$$



Se $\varphi_m > 0$ è piccolo, $G_{oy}(s)$ ha due poli $p_{1,2}$ complessi coniugati con $\operatorname{Re}(p_{1,2}) < 0$ piccole (smorzamento piccolo) e quindi presenta una risonanza nell'intorno di w_c . Una formula approssimata per valutarne lo smorzamento è $\xi \approx \varphi_m^\circ / 100$ (l'approssimazione è buona per φ_m piccolo!), quindi la risonanza è assente (o trascurabile) per $\varphi_m \geq 70^\circ$.

$\varphi_m \geq 70^\circ \Rightarrow B = [0, w_c]$ banda del sistema di controllo

le componenti armoniche del riferimento in banda passano sostanzialmente inalterate sulla variabile controllata.

C'è quindi buon "inseguimento" dei desideri con spettro in banda.

$\Rightarrow T_d \approx 1/w_c$ misura le velocità del controllo
tempo di transitorio $\approx 5/w_c$

\Rightarrow i transitori non presentano oscillazioni

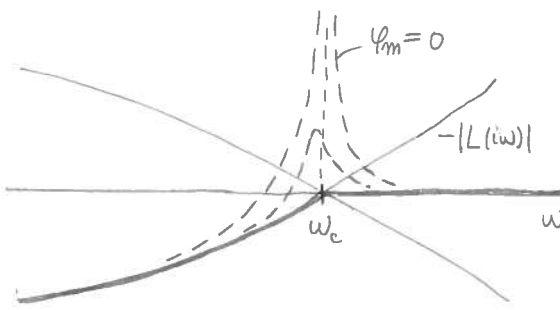
$\varphi_m < 70^\circ \Rightarrow$ La banda di $G_{oy}(s)$ non è più di interesse. L'intervallo di pulsaz. in cui $|G_{oy}(iw)| \approx 1$ (per avere buon "inseguimento del riferimento") è ridotto dalla risonanza

$\Rightarrow T_d \approx 1/\xi w_c$

\Rightarrow i transitori presentano oscillazioni con smorzamento ξ

- Analoghe considerazioni valgono per

$$G_{dy}(s) = \frac{1}{1+L(s)}$$

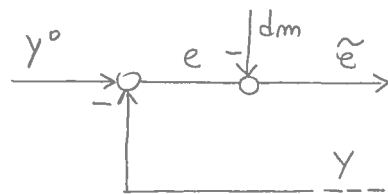
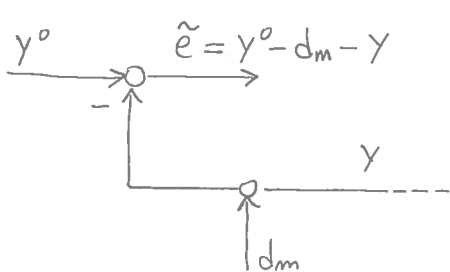


$$G_{y^0 e}(s) = -G_{de}(s) = \frac{1}{1+L(s)}$$

$\varphi_m \geq 70^\circ \Rightarrow$ le componenti armoniche del disturbo sono attenuate solo nelle bande $[0, w_0]$

\Rightarrow Le componenti armoniche di riferimento e disturbo sono attenuate sull'errore solo nelle bande $[0, w_0]$

- Un eventuale disturbo sulla misura non è attenuato nelle bande $[0, w_0]$!
(è il solito limite del controllo in anello chiuso)

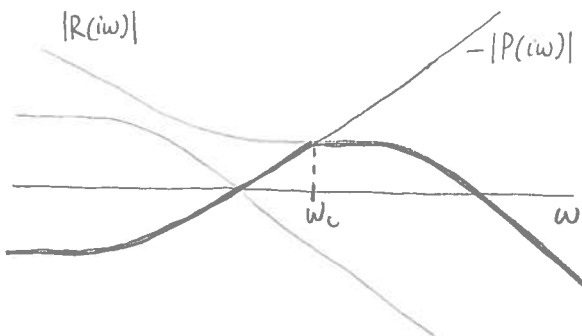
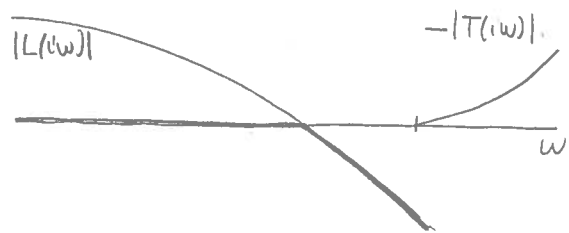


$$G_{dme}(s) = \frac{L(s)}{1+L(s)}$$

- La presenza di un trasduttore preciso e veloce non altera le considerazioni precedenti.

$$\text{Le f.d.t } G_{yu}(s) = -G_{du}(s) = \frac{R(s)}{1+L(s)}$$

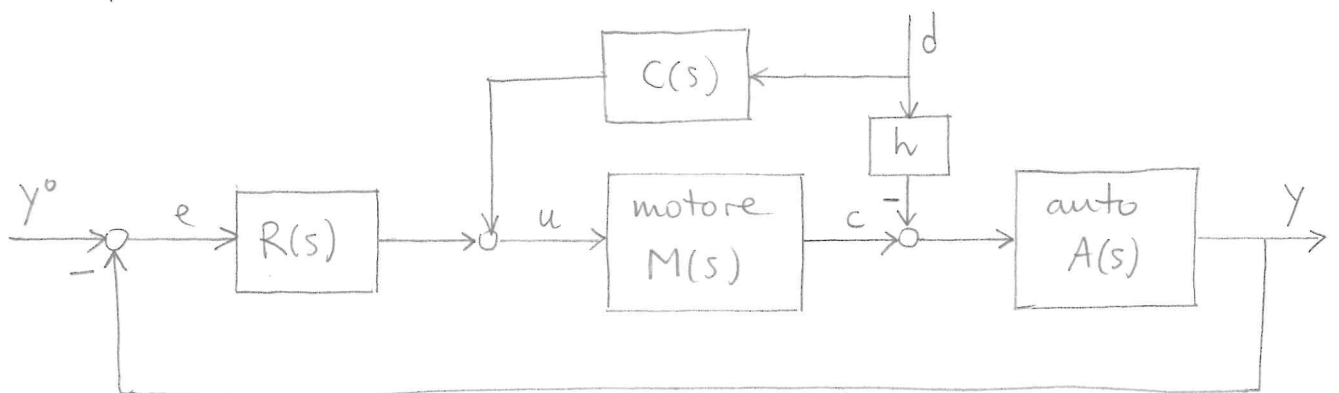
sono responsabili delle sollecitazioni imposte dal controllo sul processo.
E' quindi opportuno che il regolatore sia un sistema proprio.



(4)

Esempio 1: controllo di velocità di un motore a combustione

(5)



t : tempo [min]

$u(t)$: comando di accelerazione/freno (p.e. alimentazione in cm^3/s)

$c(t)$: coppia motrice all'albero motore [con freno motore se $u < 0$]

$\gamma(t)$: velocità di rotazione dell'albero [RPM]

$d(t)$: velocità del vento [m/s] in direzione opposta al moto

($h d(t)$ è la coppia di attrito all'albero dovuta al vento)

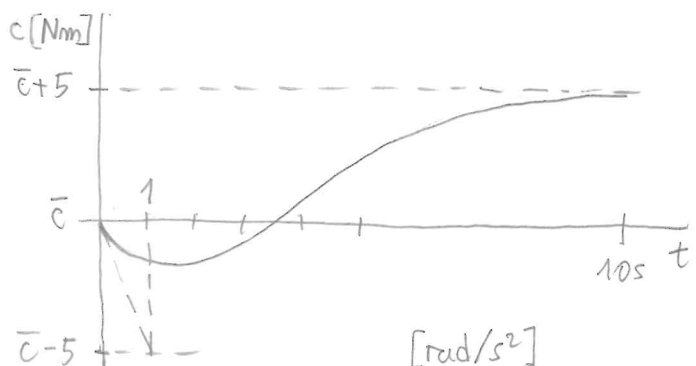
$$M(s) = \frac{1 - s\tau}{\frac{1}{5}(1 + sT_1)(1 + sT_2)}$$

$$T_1 \approx \frac{10}{5 \cdot 60} \approx 0,033 \text{ min}, \quad T_2 = 0,01 \text{ min}$$

$$\dot{c}(0) = -5 \cdot 60 \frac{\text{Nm}}{\text{min}} = -\frac{5\tau}{T_1 T_2} \rightarrow \tau \approx 0,02 \text{ min}$$

$$A(s) = \frac{1/(0,01h)}{1 + \frac{2\pi}{60^2} \frac{J}{0,01h} s} \approx \frac{20}{1 + 0,2s}$$

$$h = 5 \frac{\text{Kg}}{\text{m/s}}, \quad J = 6 \frac{\text{kg}}{\text{cm}^2}$$



$$\ddot{\gamma} = \frac{60^2}{2\pi} \frac{1}{J} (c - h d - 0,01 h \dot{\gamma})$$

punto di lavoro: vel auto = $60 \frac{\text{Km}}{\text{h}} \approx 20 \text{ m/s}$
 $\dot{\gamma} = 2000 \text{ RPM} \Rightarrow$ vento apparente di
 20 m/s quando $\dot{\gamma} = 2000$

Precisione statica (più propriamente "a regime")

- con un integratore in $R(s)$ (garantendo poi l'est. stabilità del sistema di controllo), $e(t) \rightarrow 0$ a fronte di riferimento e disturbo costanti.
- altrimenti $\mu_{ye} = 1/(1+100\mu_R)$ e $\mu_{de} = (100 - 100 c(0))/(1+100\mu_R)$ quindi con $c(0)=1$ si elimina (compensa) l'effetto di regime (sue, ma quindi anche su $\dot{\gamma}$) di un disturbo costante.

Precisione dinamica

- con $\varphi_m \geq 70^\circ$, y m seguirà bene riferimenti y° con spettro nelle bande $[0, w_c]$. Essendo la cost. di tempo dominante del processo pari a 0.2 min (quella meccanica dell'auto), quindi transitori in anello aperto d'arce 1 min, potremmo cercare di ottenere transitori più rapidi ad anello chiuso, cioè $w_c > 5 \text{ rad/min}$
- Attenzione: la presenza di uno zero z con $T = -0.02 < 0$ ($\text{Re}(z) > 0$, processo a sfasamento non minimo) pone un limite a $1/|T| = 50 \text{ rad/min}$ alle bande. Se infatti $w_c = 1/|T|$, e tenendo conto che $|L(iw)|$ ha pendenza negativa per $w = w_c$ e che non si può "cancellare" lo zero con un polo nel regolatore (cioè renderebbe il sistema di controllo instabile anche se est. stab.), si ottiene approssimativamente

$$\arg L(iw_c) = -90^\circ$$

↑ contributo minimo dovuto a
zeri e poli "stabili" a $w < w_c$

$\underbrace{-\tan(w_c/T)}_{\approx 45^\circ}$

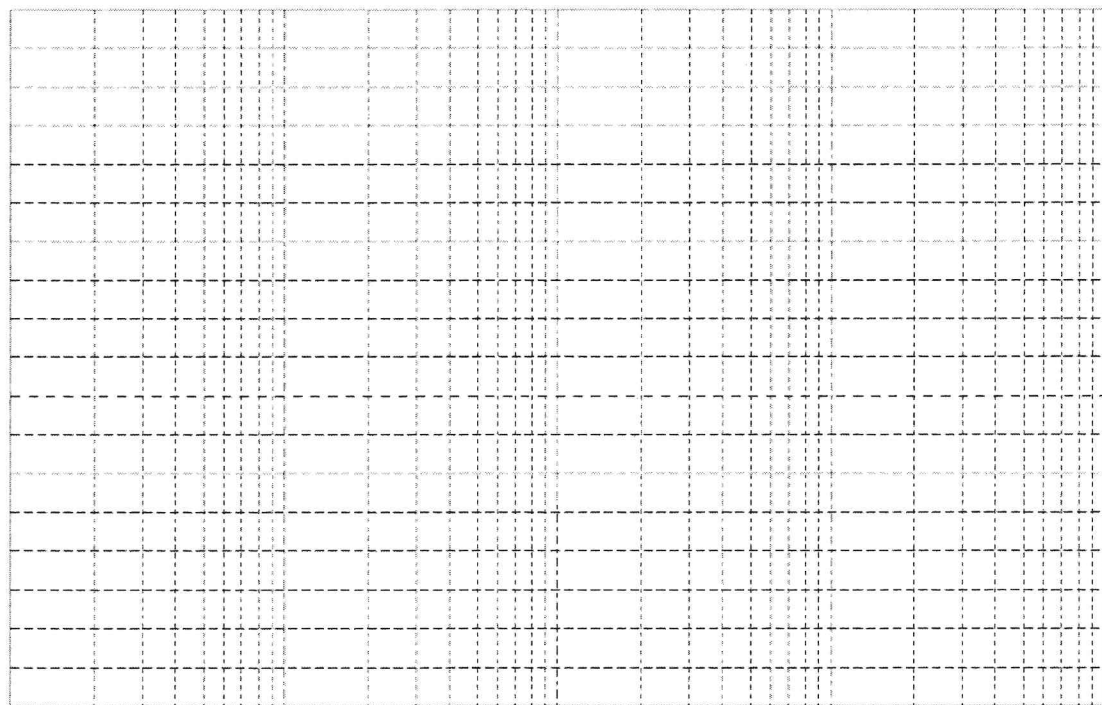
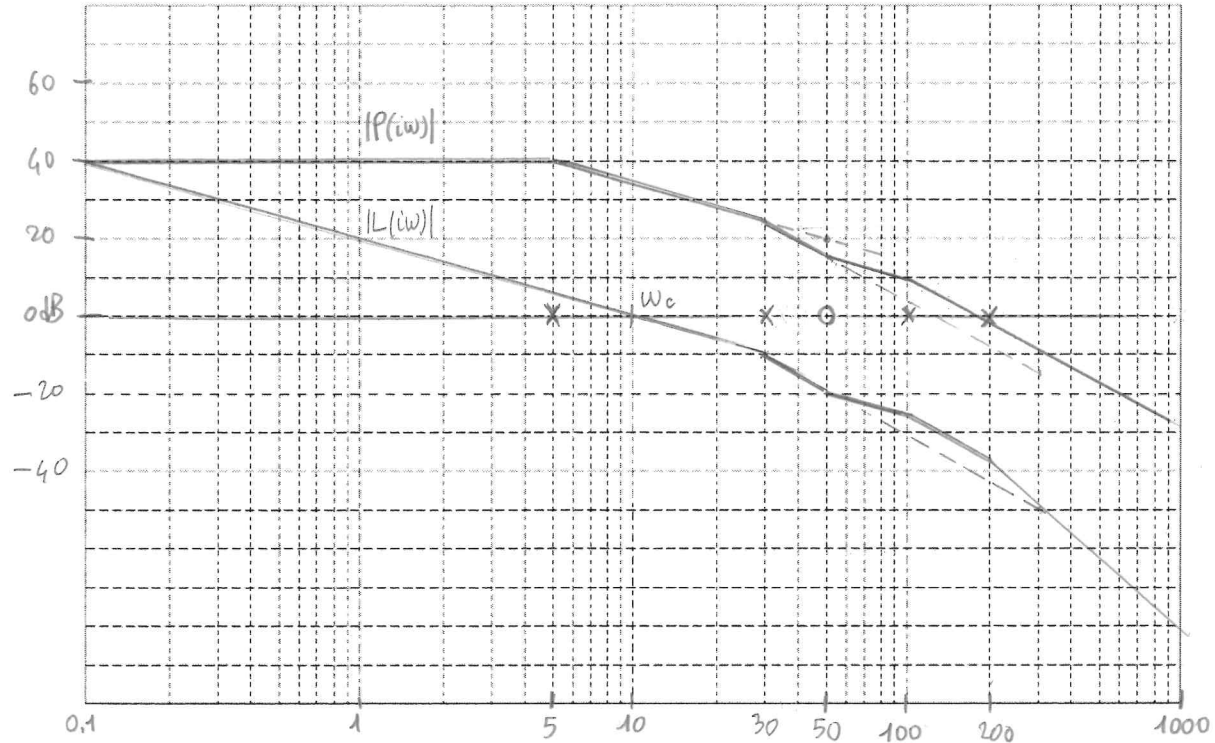
e quindi un margine di fase non soddisfacente

Stabilità del sistema di controllo

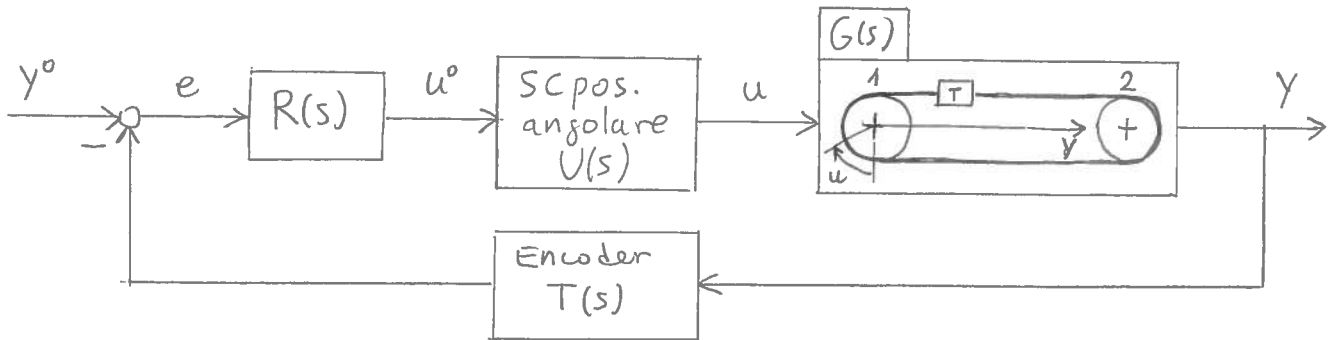
$$P(s) = 100 \frac{1 - 0.02s}{(1 + 0.2s)(1 + 0.033s)(1 + 0.01s)}, \quad R(s) = \frac{0.1}{s} \frac{1 + 0.2s}{1 + 0.005}$$

$$L(s) = R(s) P(s)$$

- c'è l'integratore in $R(s)$
- $w_c = 10 \text{ rad/min} \Rightarrow$ durata transitori $\approx 0.5 \text{ min}$
- È "tipico" cancellare poli stabili del processo con zeri nel regolatore (cioè rende il sistema di controllo non c.r./c.o. (anche se in pratica la cancellazione non è mai perfetta), ma permette di plasmare $|L(iw)|$).
- $\varphi_m = 51,7^\circ$
- $\arg L(i10) = -90^\circ - \underbrace{\tan(10 \cdot 0.033)}_{18.4^\circ} - \underbrace{\tan(10 \cdot 0.02)}_{11.3^\circ} - \underbrace{\tan(10 \cdot 0.01)}_{5.7^\circ} - \underbrace{\tan(10 \cdot 0.005)}_{3.9^\circ} = -128.3^\circ$
- zeri e poli s con $|s| \gg w_c$ sfasano poco. Se $|s| \ll w_c$ sfasano $\pm 90^\circ$.



Esempio 2 : controllo di posizione di una testina di lettura



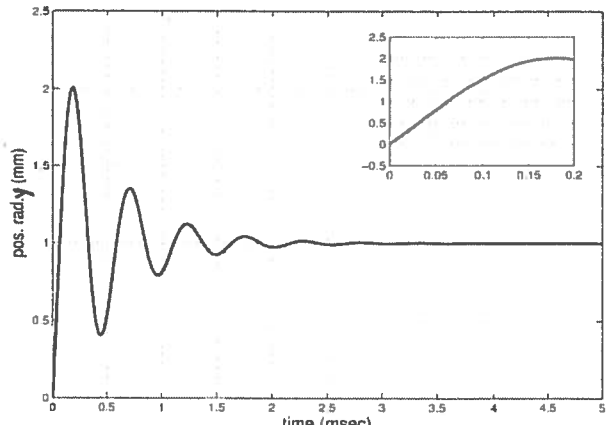
t : tempo [ms]

$u^o(t)$: riferimento di posizione angolare per la puleggia 1.

$y(t)$: posizione radiale delle testine [mm]

- Il sistema di controllo di posizione ang. delle puleggia 1 va a regime (a fronte di riferimento costante) in circa $100\mu s$ con errore e oscillazioni trascurabili
- L'encoder di posizione ha errore trascurabile e cost. di tempo dominante (di natura elettrica) inferiore a $1\mu s$.
- La risposta ad uno scalino di posizione angolare d'ampiezza 0.1 rad del sistema di pulegge è riportato in figura (assieme ad un ingrandimento dei primi istanti di tempo).

Dai dati sopra riportati si ricava :

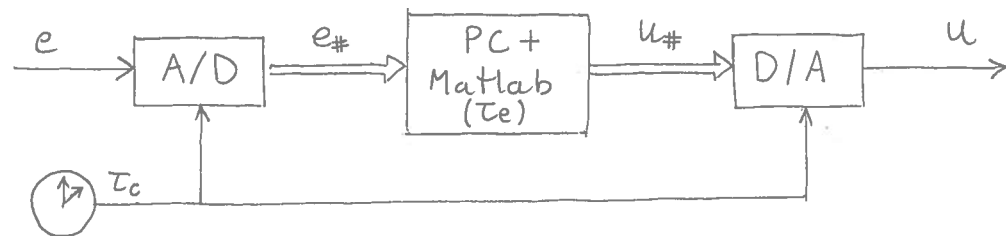


$$U(s) = \frac{1}{1+0,02s}, \quad T(s) = \frac{1}{1+0,001s}$$

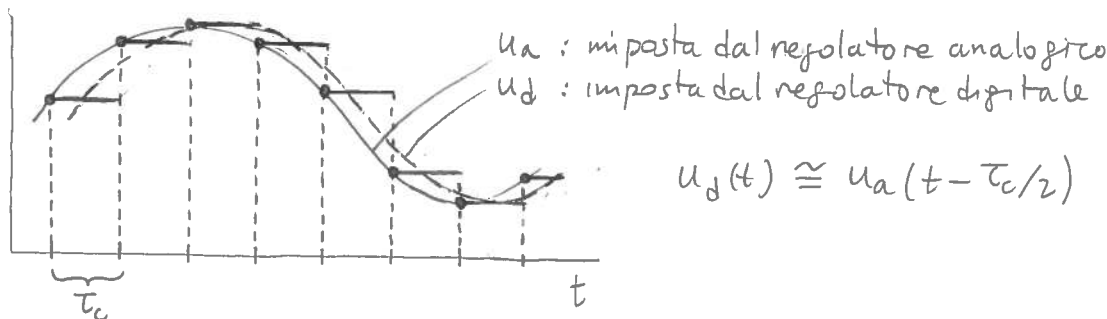
$$G(s) = 10 \frac{1+s\tau}{1+2\xi\frac{s}{\omega_n} + \frac{s^2}{\omega_n^2}}$$

$$\left\{ \begin{array}{l} \text{durata transitoria } \approx 2.5 \text{ ms} \Rightarrow \text{Re}(p_{1,2}) = -2 \\ \text{periodo di oscillazione } \approx 0.5 \text{ ms} \\ \Rightarrow \text{Im}(p_{1,2}) \approx .12 \\ \Rightarrow \omega_n \approx \sqrt{2^2 + 12^2} \approx 12 \text{ rad/ms} \\ \Rightarrow \xi \approx 2/12 \approx 0.167 \\ \text{pendenza iniziale } \approx 3.5/0.2 = 17.5 \\ \Rightarrow 10\tau\omega_n^2 \cdot 0.1 = 17.5 \Rightarrow \tau \approx 0.1 \end{array} \right.$$

- La realizzazione digitale del regolatore



introduce un ritardo (spesso trascurabile) dovuto al tempo di calcolo (elaborazione) T_e e al periodo di campionamento T_c . Il convertitore D/A è tipicamente un mantenitore (ZOH - zero-order holder) + un filtro passa basso che attenua le alte frequenze dovute alle discontinuità del segnale mantenuto.



$$\Rightarrow \text{ritardo complessivo } \tau = T_e + T_c/2$$

$$\Rightarrow \text{supponiamo } \tau = 10\mu\text{s} \text{ e pertanto } P(s) = U(s) G(s) e^{-0,01s}$$

Precisione statica

- Inseriamo un integratore nel regolatore $\Rightarrow M_{yy} = 1, M_{ye} = 0$

Precisione dinamica

- Cerchiamo di ottenere $\varphi_m \geq 70^\circ$ (per evitare oscillazioni) e $w_c \geq 2 \text{ rad/ms}$ (durata transitori $\leq 2,5 \text{ ms}$)
- Attenzione: la presenza di un ritardo τ nell'anello pone un limite a $1/\tau$ alla banda. Il ritardo non altera il diagramma di $|L(iw)|$, ma riduce φ_m , rispetto al valore ottenuto senza considerare il ritardo, di $w_c \tau 180^\circ$. Se $w_c = 1/\tau = 100 \text{ rad/ms}$ tale riduzione risulta di circa 60° !

Stabilità del sistema di controllo

(10)

- Senza voler cancellare i poli complessi coniugati del processo (con opportuni zeri nel regolatore), operazione sconsigliata vista le stime spesso non precise di tali poli, w_c non può superare 5-10 rad/ms. Cerchiamo di ottenere $w_c = 10$ rad/ms, quindi transatori d'arca 0,5 ms.

$$P(s) = 10 \frac{1+s\tau}{(1+0.02s)\left(1+2\xi\frac{s}{w_n} + \frac{s^2}{w_n^2}\right)} \quad , \quad R(s) = \frac{MR}{s}, MR=1$$

$$L(s) = R(s) P(s) T(s)$$

- $\varphi_m = 75,1^\circ$

$$\arg L(i5) = -90^\circ - \underbrace{\text{atan}\left(2\xi\frac{10}{w_n}/\left(1-\frac{10^2}{w_n^2}\right)\right)}_{42,3^\circ} + \underbrace{\text{atan}(10 \cdot 0,1)}_{45^\circ} - \underbrace{\text{atan}(10 \cdot 0,02)}_{11,3^\circ} - \underbrace{\text{atan}(10 \cdot 0,001)}_{0,6^\circ} - 10 \cdot 0,01 \cdot \frac{180}{\pi} = -104,9^\circ$$

- tenendo conto del diagramma non approssimato di $|L(iw)|$ si ottiene w_c leggermente > 10 rad/ms e quindi $\varphi_m < 75,1^\circ$. E' quindi consigliabile un valore di MR leggermente inferiore a 1 di realtà, stando al diagramma non approssimato, $w_c = 10$ rad/ms è leggermente inferiore

